

УДК 612.825.2:612.826

М. Я. Волошин, В. Ф. Прокопенко

**ХАРАКТЕРИСТИКА НИСХОДЯЩИХ ВЛИЯНИЙ
ПЕРВОЙ ЗОНЫ СОМАТОСЕНСОРНОЙ КОРЫ
ГОЛОВНОГО МОЗГА КОШКИ НА НЕИРОНЫ
ВЕНТРАЛЬНОГО ЗАДНЕЛАТЕРАЛЬНОГО ЯДРА ТАЛАМУСА**

В настоящее время общепризнано, что все функции таламических ядер находятся под регулирующим влиянием коры больших полушарий [5, 21].

Однако до настоящего времени нет единого представления не только о механизмах, но и о характере кортико-таламических влияний. Одни исследователи считают их облегчающими, вызывающими возбуждение таламо-кортикальных нейронов и собственных возбуждающих интернейронов релейных ядер таламуса [3, 11, 14]. В других работах кортико-таламические влияния расценивают как тормозящие и объясняют возбуждением тормозящих интернейронов ядер под влиянием кортикофугальных посылок [5, 9], а в отдельных случаях — прямым моносинаптическим действием тормозящих нейронов с длинным аксоном, локализующихся в самой коре головного мозга [4, 6]. Широко распространено представление, что торможение в таламических ядрах возникает в результате возбуждения тормозящих интернейронов импульсами, поступающими по возвратным коллатералям аксонов таламо-кортикальных нейронов [4, 7, 19]. Имеются указания, что возбуждающее и тормозящее действие коры на релейные ядра существует одновременно и зависит от частоты кортикофугальной импульсации [5, 8, 20, 22].

Задача настоящей работы состояла в выяснении характера нисходящих влияний первой зоны соматосенсорной коры (*SI*) на нейроны специфического ядра соматической чувствительности (*VPL*).

Речь идет о роли кортико-таламических посылок в формировании двусторонних таламо-кортикальных функциональных систем, осуществляющих анализ и синтез афферентных раздражений [4, 5].

Методика исследований

Работа выполнена на 34 взрослых кошках, наркотизированных тиопенталом натрия (40 мг/кг, внутрибрюшинно) и обездвиженных внутривенным введением *d*-тубокуарина (0,5 мг/кг) или миорелаксина (2 мг/кг). Трахеотомию, катетеризацию бедренной вены и операции на черепе выполняли после инфильтрационной анестезии мягких тканей в области операционного поля 0,5% раствором новокаина. Операции на черепе, вскрытие полости бокового желудочка описаны в работах, опубликованных ранее [1, 2]. В этих же работах изложена методика определения области раздражения и зоны отведения, которые в каждом эксперименте верифицировали по гистологическим срезам мозга.

Нейроны *VPL* идентифицировали по характеру их ответов на электрическое раздражение волокон медиальной петли (*LM*) и *SI*.

Электроды для раздражения *SI* имели вид коротких (до 2 мм) неизолированных иголок, расположенных в несколько рядов (межэлектродное расстояние 1,5—2 мм), что давало возможность охватить раздражением всю посткрюциатную область.

Для стимуляции *LM* использовали bipolarный электрод с межэлектродным расстоянием 0,5 мм, изготовленный из никромовой проволоки диаметром 90 мкм, который вводили в точку с координатами $F_r = -11,0$; $L = +0,5$; $H = -0,5$ [17].

Для стимуляции *LM* и *SI* применяли одиночные толчки тока длительностью 0,2—0,3 мс, частота повторения которых была равна 0,5—0,7, а затем 5—15/с. Сила тока в два-три раза превышала пороговую для воспроизведения исследуемой реакции.

рвет

Е. Н. Панасюк
В. С. Райцес
П. И. Сябро
Г. И. Федорович
Г. А. Хасабов
А. И. Хомазюк

ул. Богомольца, 4

меровская

швяля

Пляшков

мат 70×108/16. Вып. печ. Усл. печ.
к 950 экз. Заказ 3-655.

2004 Киев 4, Репина, 4.

журнал», 1983

KNER

У некоторых нейронов *VPL* исследовали их реакцию на раздражение области SI 4-6 стимулами частотой 150-400/с.

В трех опытах проводили стимуляцию SI не только ipsilateralного, но и contralateralного полушария.

Влияние барбитуратов на реакции, вызванные в нейронах *VPL* стимуляцией афферентных входов, определяли путем внутривенной инъекции животным раствора нембутала натрия в дозе 2,5–5,0 мг/кг веса.

У восьми животных за 7–10 дней до острого опыта посредством аспирации удаляли области *SI*, *MI*, *SII* коры головного мозга с целью вызвать дегенерацию кортикофугальных аксонов и, таким образом, исключить влияние пейронов неокортика на процессы, происходящие в *VPL*. У этих животных во время острого опыта проводили стимуляцию волокон белого вещества, проецирующихся в область *SI*.

Результаты исследований

Зарегистрирована активность 334 нервных клеток *VPL*. На основании верификации принадлежности каждого из исследованных нейронов к *VPL*, проведенной по гистологическим срезам, для дальнейшего анализа были отобраны 173 нервные клетки, активность которых зарегистрирована у животных с интактной соматосенсорной корой и 86 нейронов — у животных с предварительно удаленной корой.

Все отобранные нейроны реагировали на одно из предъявленных раздражений (*LM* или *SI*) либо на стимуляцию обоих входов.

Реакции нейронов *VPL* на стимуляцию *SI* с частотой 0,5—0,7/с. Установлено, что из 173 исследованных нейронов *VPL* 109 (63,0 %) реагируют на раздражение *SI* антидромным потенциалом действия (нейроны выхода из ядра). Скрытые периоды антидромных реакций у разных нейронов составляли 0,4—2,5 мс ($M \pm m = 1,04 \pm 0,04$ мс), рис. 1, I. Поскольку расстояние между областью *SI* и *VPL* равно в среднем 20 мм [20], то такие значения латентных периодов антидромных ответов указывают, что скорость проведения возбуждения по таламо-кортикальным аксонам составляет 8—50 м/с.

Вслед за антидромным потенциалом действия, а иногда и самостоятельно, у 30,6 % исследованных нейронов *VPL* в ответ на раздражение *SI* развивались ортодромные возбудительные реакции, которые при внеклеточном отведении имели вид одного (45 нейронов — 26,0 %)

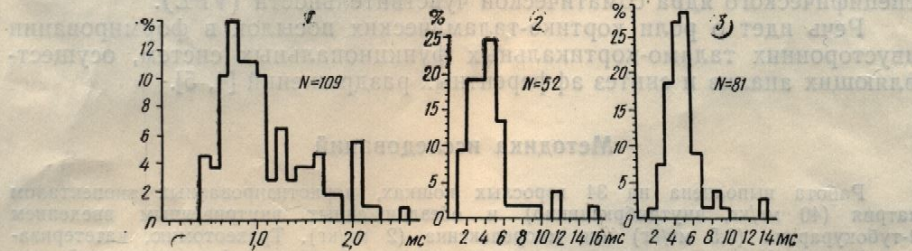


Рис. 1. Распределение латентных периодов антидромных (1) и ортодромных реакций нейронов *VPL* при частоте стимуляции SI 0.5—0.7/c (2); 5—15/c (3).

или нескольких потенциалов действия (7 нейронов — 4,0 %). При внутриклеточном отведении в одном нейроне (0,6 %) был зарегистрирован только ВПСП, но достигший порового уровня, что, по-видимому, обусловлено повреждением клетки.

Гистограмма распределения латентных периодов ортодромных потенциалов действия, зарегистрированных в нейронах *VPL* при стимуляции *SI* с частотой 0,5—0,7/с, представлена на рис. 1, 2.

Наличие торможения, развивающегося в нейронах *VPL* при стимуляции *SI*, определяли тремя способами: методом парных стимулов — по торможению ответа нейрона на тестирующую посылку со стороны

Характеристика исходящих влия

LM после кондиционирующих разрядов на ПСТ-гистированных участках обследования. В первом случае то клеток из 112 (57,1 %), а в периоды торможения, измеренных парных стимулов, составляя

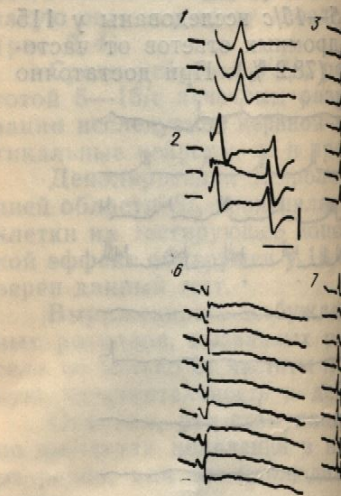


Рис. 2. Реакции ней

Идентификация нейрона: ортодромическое (1), антидромическое (2) и ортодромическое (3).
СИ пятью точками тока частично блокирует действие кондиционирующего стимуляции медиальной петли (5).
 данные через 2 (6), 4 (7, 8) и 8 миллисекунд на патрия. На 1-3 и 8 — после бега луча, считая от начала стимуляции бровки; 1

1,3—7,0 мс) зарегистрированных нейронов (72,0 %). Меж冲动 1,3 и 1,5 мс) отмечены толь-

Длительность периода большинства нейронов *VP* ронов достигали 400 мс.

Среди обследованных которых торможение в от ортодромного возбуждении

Изучение ответов нейрощества у животных с пре-
через 7—10 дней после о-
уменьшение количества о-
дромное возбуждение зар-
исследованных в этой сер-
шении относительного чис-
но (30,2 % по сравнению
ции *SI*). Латентные перио-
после удаления *SI*, стати-
нию с их продолжительно-
 $= 1,08 \text{ мс} \pm 0,07 \text{ мс}; p > 0,0$

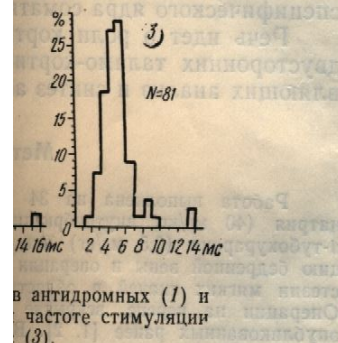
Исследование процесса VPL в ответ на раздражение

реакцию на раздражение области не только ипсилатерального, но и в нейронах *VPL* стимуляцией инъекции животным раствора го опыта посредством аспирации с целью вызвать дегенерацию ячейки нейронов неокорковых во время острого опыта локализующихся в область *SI*.

Реакции

ых клеток *VPL*. На основании исследованных нейронов зам, для дальнейшего активность которых зарегистрирована корой и 86 нейронами корой, на одно из предъявленных вариантов обоих входов. *SI* с частотой 0,5—0,7/с. нейронов *VPL* 109 (63,0 %) реагировали с погашением действия (нейнтидромных реакций у разн.=1,04±0,04 мс), рис. 1, 1. и *VPL* равно в среднем периодов антидромных отвездуждения по таламо-кор-

твия, а иногда и самостоятельный *VPL* в ответ на раздражительные реакции, которые это (45 нейронов — 26,0 %)



и антидромных (1) и частоте стимуляции (3).
нейронов — 4,0 %). При вну-
(6 %) был зарегистрирован
ровня, что, по-видимому,

периодов ортодромных по-
нейронах *VPL* при стиму-
на рис. 1, 2.
нейронах *VPL* при стиму-
том парных стимулов —
щую посылку со стороны

Характеристика исходящих влияний

LM после кондиционирующего раздражения *SI*; по торможению фоновых разрядов на ПСТ-гистограммах и по развитию ТПСП, зарегистрированных у части обследованных нейронов при внутриклеточном отведении. В первом случае тормозный эффект обнаружен у 64 нервных клеток из 112 (57,1 %), а во втором — у 17 из 23 (73,9 %). Латентные периоды торможения, измеренные по ПСТ-гистограммам и методом парных стимулов, составляли 2,9—30,0 мс. ТПСП (латентные периоды

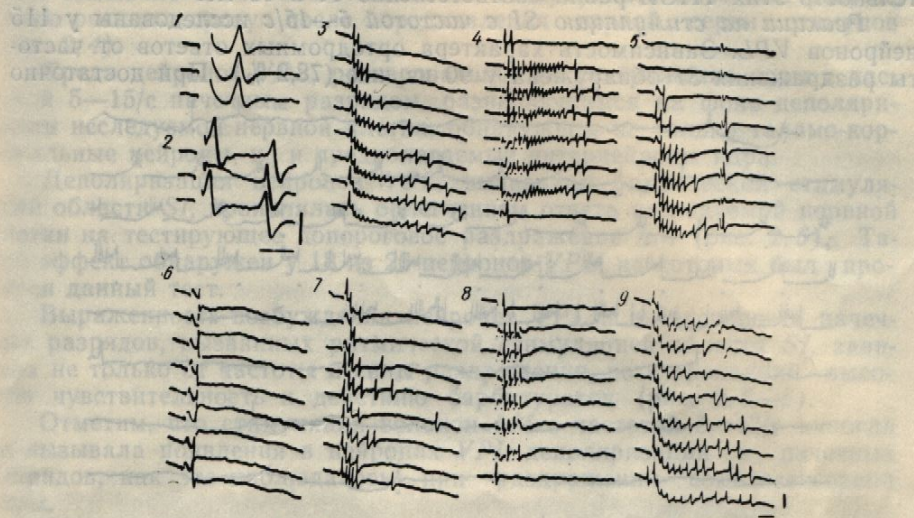


Рис. 2. Реакции нейронов *VPL* на ритмическую стимуляцию *SI*.

Идентификация нейрона: ортодромный моносинаптический ответ на стимуляцию медиальной петли (1), антидромный и ортодромный ответы на стимуляцию *SI* (2). Реакции нейрона на раздражение *SI* пятью толчками тока частотой 300/с (3), одиночными стимулами частотой 7/с (4). Облегчающее действие кондиционирующего раздражения *SI* на ответ нейрона, вызванный допороговой стимуляцией медиальной петли (5). Записи реакций того же нейрона на раздражение *SI*, сделанные через 2 (6), 4 (7, 8) и 8 мин (9) после внутривенного введения животному 2,5 мг/кг тионепентала натрия. На 1—3 и 8—9 последовательные пробеги луча, на 4—7 и 9 — каждый пятый пробег луча, считая от начала стимуляции. Режим стимуляции на 8 такой же, как и на 3. Калибраторы: 1, 2 — 2 мВ, 2 мс; 3—9 — 2 мВ, 10 мс.

1,3—7,0 мс) зарегистрированы у 18 из 25 внутриклеточно исследованных нейронов (72,0 %). Моносинаптические ТПСП (латентные периоды 1,3 и 1,5 мс) отмечены только у двух нейронов.

Длительность периода торможения в ответ на стимуляцию *SI* у большинства нейронов *VPL* составляла 10—150 мс, но у отдельных нейронов достигала 400 мс.

Среди обследованных нейронов выявлено 24 нервные клетки, у которых торможение в ответ на стимуляцию *SI* развивалось после ортодромного возбуждения.

Изучение ответов нейронов *VPL* на стимуляцию волокон белого вещества у животных с предварительно удаленной корой показало, что через 7—10 дней после операции наблюдается не только выраженное уменьшение количества ортодромных возбудительных реакций (ортодромное возбуждение зарегистрировано только у трех из 86 нейронов, исследованных в этой серии опытов — 3,5 %), но и существенное уменьшение относительного числа нейронов *VPL*, активирующихся антидромно (30,2 % по сравнению с 63,0 % антидромных ответов при стимуляции *SI*). Латентные периоды антидромных ответов, зарегистрированных после удаления *SI*, статистически достоверно не изменились по сравнению с их продолжительностью у животных с интактной корой ($M \pm m = 1,08 \text{ мс} \pm 0,07 \text{ мс}; p > 0,05$).

Исследование процесса торможения, развивающегося в нейронах *VPL* в ответ на раздражение волокон белого вещества, показало, что

у 12 из 28 нейронов (42,9 %) такое раздражение вызывало торможение ответа на тестирующее раздражение *LM*, а у восьми из 31 нервной клетки (25,8 %) сопровождалось угнетением фоновых разрядов, проявляющимся на ПСГ-гистограммах. В двух из десяти нейронов, активность которых в этой серии опытов была исследована внутриклеточно, реакция на стимуляцию волокон белого вещества была представлена первичными ТПСП с латентными периодами 2,8 и 3,0 мс. Продолжительность этих ТПСП равна соответственно 11 и 18 мс.

Реакции на стимуляцию *SI* с частотой 5—15/с исследованы у 115 нейронов *VPL*. Зависимость характера ортодромных ответов от частоты раздражения *SI* обнаружена у 90 из них (78,2 %). При достаточно

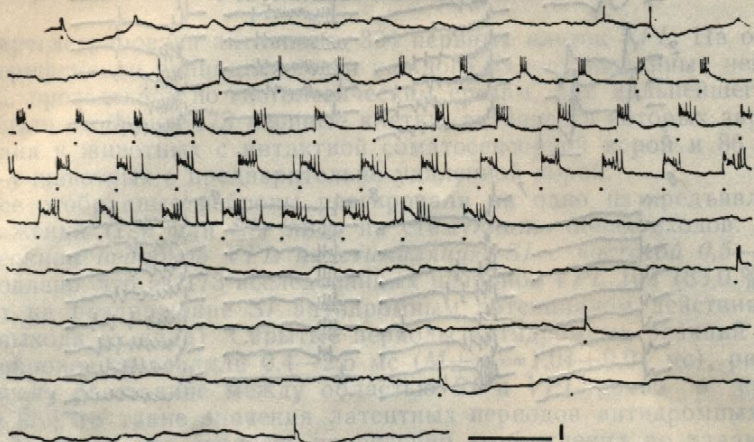


Рис. 3. Зависимость характера ответа релейного нейрона *VPL* от частоты электрической стимуляции соматосенсорной коры.

Точками обозначены моменты нанесения раздражения. Частота стимуляции в начале и конце записи — 0,7/с, в середине записи — 7,0/с. Непрерывная запись. Квазивнутриклеточное отведение. Калибровка: 5 мВ, 200 мс.

продолжительной стимуляции (15—60 стимулов частотой 5—15/с) у 69 нейронов (60,0 %) число потенциалов действия в ответ на каждый последующий стимул нарастало, и реакция приобретала вид пачечного разряда. Амплитуда потенциалов действия в разряде при этом, как правило, снижалась (рис. 2). Подобный эффект, правда, несколько менее четко выраженный, можно получить и при стимуляции контролатеральной *SI*.

В *VPL* обнаружены нейроны, у которых низкочастотное раздражение *SI* вызывало реакцию в виде одного потенциала действия с последующим торможением, а ритмическая стимуляция той же области сопровождалась появлением пачечного разряда, «замещавшего» по мере своего развития ранее наблюдавшуюся тормозную реакцию (рис. 3). У 21 нервной клетки при повышении частоты стимуляции *SI* характер ответа на это раздражение изменялся, но пачечные разряды не были обнаружены. На раздражение *SI* с частотой 0,5—0,7/с 16 нейронов данной группы ортодромно не реагировали, а в трех был зарегистрирован ТПСП. После повышения частоты стимуляции коры мозга до 5—15/с в 16 нервных клетках была зарегистрирована ортодромная реакция в виде одиночного потенциала действия, в одном нейроне — ВПСП, а в двух — постепенно развивающаяся блокада ТПСП.

Два других нейрона *VPL* реагировали на увеличение частоты стимуляции *SI* до 5—15 имп/с снижением ответоспособности, которое выражалось уменьшением амплитуды ВПСП и исчезновением потенциала действия; ТПСП при этом не возникал. После снижения частоты раздражения *SI* отмечено восстановление исходной реакции.

Распределение скрытых акций (пачечных разрядов, кавших в нейронах *VPL* по 15/с, приведено на рис. 1, представленных на гистограммах период 1,5—5,9 мс.

Раздражение *SI* четырех 400/с вызывало в нейронах такую реакцию сразу посл. (рис. 2, 4).

Среди нейронов *VPL*, частотой 5—15/с пачечным раздражением исследуемой нервной тканью являются нейроны, но и п

Деполяризация нейронной оболочки *SI*, проявляющаяся на тестирующем доказательстве, какой эффект обнаружен у 18 верен данный тест.

Выраженность возбуждения разрядов, вызванных стимулом, села не только от частоты стимуляции, но и чувствительность к д

Отметим, что стимуляция не вызывала появления в разрядах, как это наблюдалось в коре.

Стимуляция волокон бахромы через 7—10 дней после появления пачечных разрядов *VPL*. Только у 7 из 15 нейронов ортодромного возбуждения.

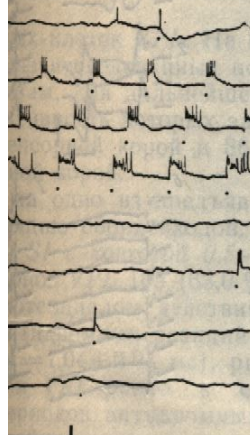
Обсуждение

Полученные в настоящем исследовании множественных двусторонних зоной соматосенсорной коры двух третей (63,0 %) иссекаются в область *SI*. В то же время пять шестых (83,5 %) ортодромным возбуждением же области коры с частотой трети (30,6 %) нейронов исходящего афферентного волокна *VPL* дает в гальванические возбудительные в

Анализ латентных периодов у 60,0 % исследований стимуляции *SI* с различными скоростями проведен волокнам — 4—14 м/с [23]. Уникают в нейронах *VPL*, го возбуждения. У части удавалось вызвать стимуляции, но и соответствует против того, что предполагается собой нейрона антидромных пот

жение вызывало торможение у восьми из 31 нервной волны фоновых разрядов, произошло из десяти нейронов, активировано внутриклеточно, вещества была представлена при 2,8 и 3,0 мс. Продолжительность 11 и 18 мс.

5—15/с исследованы у 115 ортодромных ответов от частот (78,2 %). При достаточно



части VPL от частоты электрической коры.

стимуляции в начале и конце. Квазивнутриклеточное отведение,

ов частотой 5—15/с) у 69 ия в ответ на каждый поборотала вид пачечного в разряде при этом, как факт, правда, несколько менее стимуляции контролателем низкочастотное раздражение действия с последующей той же области сопровождавшего» по мере реакцию (рис. 3).

стимуляции SI характерные разряды не были 5—0,7/с 16 нейронов даных был зарегистрирован из коры мозга до 5—15/с ортодромная реакция в нейроне — ВПСП, а в ИСП.

увеличение частоты способности, которое вычленением потенциала. После снижения частоты одной реакции.

Характеристика исходящих влияний

Распределение скрытых периодов ортодромных возбудительных реакций (пачечных разрядов, одиночных потенциалов действия), возникавших в нейронах VPL под влиянием стимуляции SI с частотой 5—15/с, приведено на рис. 1, 3 ($M \pm m = 4,75 \text{ мс} \pm 0,21 \text{ мс}$). Большинство представленных на гистограмме реакций (91,4 %) имели латентный период 1,5—5,9 мс.

Раздражение SI четырьмя — шестью импульсами частотой 150—400/с вызывало в нейронах, способных генерировать пачечный разряд, такую реакцию сразу после предъявления первой серии стимулов (рис. 2, 4).

Среди нейронов VPL, реагировавших на раздражение коры с частотой 5—15/с пачечным разрядом, развивающимся на фоне деполяризации исследуемой нервной клетки, обнаружены не только таламо-кортикальные нейроны, но и предполагаемые интернейроны ядра.

Деполяризация нейронов VPL, вызванная ритмической стимуляцией области SI, проявлялась облегчением ответа исследуемой нервной клетки на тестирующее допороговое раздражение LM (рис. 2, 5). Такой эффект обнаружен у 18 из 26 нейронов VPL, на которых был проверен данный тест.

Выраженность возбуждения нейронов VPL и интенсивность пачечных разрядов, вызванных ритмической стимуляцией области SI, зависела не только от частоты и силы раздражения, но и проявляли высокую чувствительность к действию барбитуратов (рис. 2, 6—9).

Отметим, что стимуляция волокон LM с частотой 5—15/с никогда не вызывала появления в нейронах VPL деполяризации и пачечных разрядов, как это наблюдалось при раздражении соматосенсорной коры.

Стимуляция волокон белого вещества с частотой 5—15/с, проведенная через 7—10 дней после аспирации области SI, не сопровождалась появлением пачечных разрядов ни у одного из 86 исследованных нейронов VPL. Только у 7 из них (8,1 %) при этом было отмечено появление ортодромного возбуждения в виде одиночного потенциала действия.

Обсуждение результатов исследований

Полученные в настоящей работе данные подтверждают наличие множественных двусторонних связей между нейронами VPL и первой зоной соматосенсорной коры [5, 7, 8, 12, 20]. Установлено, что около двух третей (63,0 %) исследованных нейронов VPL посыпают свои аксоны в область SI. В то же время при стимуляции SI с частотой 5—15/с пять шестых (83,5 %) исследованных нейронов VPL реагировали ортодромным возбуждением. Если учесть, что при раздражении этой же области коры с частотой 0,5—0,7/с ортодромно возбуждались менее трети (30,6 %) нейронов ядра, то можно заключить, что усиление исходящего афферентного потока путем повышения частоты стимуляции неокортекса дает возможность более полно выявить кортикофугальные возбудительные влияния SI на нейроны VPL.

Анализ латентных периодов пачечных разрядов, зарегистрированных у 60,0 % исследованных нейронов VPL при достаточно продолжительной стимуляции SI с частотой 5—15/с, проведенный с учетом дисперсии скоростей проведения возбуждения по кортико-таламическим волокнам — 4—14 м/с [23], свидетельствует, что реакции такого типа возникают в нейронах VPL, как правило, в результате моносинаптического возбуждения. У части исследованных нейронов пачечные разряды удавалось вызвать стимуляцией не только области SI на стороне отведения, но и соответственной зоны противоположного полушария, что свидетельствует против точек зрения, согласно которой пачечный разряд представляет собой результат поступления в сому исследуемого нейрона антидромных потенциалов действия [10, 13].

Исследование динамики развития пачечных разрядов (рис. 3) показывает, что при ритмической стимуляции проекционной области коры с частотой не ниже 5/с в нейронах *VPL* развиваются два процесса — усиление возбуждения и ослабление торможения. Нисходящие влияния *SI*, вызывающие эти явления, поступают к нервным клеткам *VPL* по таламопетальным аксонам корковых нейронов, терминали которых, как это было показано морфологически [12], оканчиваются на нейронах ядра аксо-дendритными и аксо-аксонными синапсами. Аксо-дendритные синапсы обнаруживаются главным образом на проксимальных участках средних и тонких дендритов нейронов *VPL*. Следует полагать, что суммация дендритных ПСП [16] при ритмической стимуляции неокортекса с частотой не ниже 5/с создает ту деполяризацию нейрона, на фоне которой развиваются пачечные разряды и которая является причиной облегчения ответа исследуемой клетки на ранее допороговое тестирующее раздражение афферентного входа (рис. 2, 5).

Может быть выдвинуто возражение, что пачечные разряды, которые наблюдаются в нейронах релейного ядра при продолжительной ритмической стимуляции проекционной области неокортекса толчками электрического тока, представляют собой эпифеномен — явление, не наблюдающееся в нормальных условиях. Однако аналогичное явление удается получить и без электрического раздражения — путем создания в коре мозга очага эпилептической активности [10, 15, 18].

Антероградная дегенерация кортико-таламических путей, развивающаяся после удаления неокортекса, приводит к выключению возбуждающих кортико-таламических влияний, что проявляется резким уменьшением числа нейронов, реагирующих на раздражение волокон белого вещества ортодромно, и делает невозможным возникновение пачечных разрядов. Ортодромное возбуждение, которое развивается в нейронах *VPL* в ответ на раздражение волокон белого вещества через 7—10 дней после удаления коры, возникает в результате активации этих клеток импульсами, поступающими по возвратным коллатералям аксонов таламо-кортикальных нейронов.

У животных с интактной корой значительное количество нейронов отвечало на стимуляцию *SI* торможением. Необходимо, однако, подчеркнуть, что функциональное значение моносинаптического коркового торможения невелико. Среди первичных ТПСП, вызванных раздражением области *SI*, только два были моносинаптическими. Аналогичные данные, указывающие, что количество локализующихся в коре мозга тормозящих нейронов с длинным аксоном незначительно, получены и при исследовании кортикофугальных влияний соответствующих проекционных зон неокортекса на релейные ядра других сенсорных модальностей [5, 6]. Таким образом, большинство тормозных реакций, возникающих в нейронах *VPL* в ответ на стимуляцию *SI*, развивается в результате активации собственных тормозящих интернейронов ядра. После удаления коры и дегенерации кортикофугальных афферентов количество тормозящихся в ответ на раздражение белого вещества нейронов хотя и уменьшается по сравнению с тем, которое наблюдалось у интактных животных при раздражении области *SI*, но все же остается достаточно высоким (42,9 % исследованных нейронов при выявлении торможения методом парных стимулов). Тормозные процессы, которые сохранились в нейронах *VPL* после удаления проекционной коры, возникают, как следует полагать, по механизму возвратного торможения, обусловленного активацией тормозящих нейронов ядра по возвратным коллатералям кортикопетальных аксонов.

Ослаблению торможения, которое у части нейронов *VPL* развивается практически одновременно с возбуждением под влиянием ритмической стимуляции *SI* с частотой 5—15/с или короткой высокочастотной серией стимулов, не может быть предложено однозначное объяснение. Учитывая выраженные деполяризующие влияния со стороны неокортекс-

Характеристика нисходящих вли

са и небольшие размеры можно считать результатом до уровня, при котором блокируется. Наличие ванных терминалами корреспондирует о возможности блокированием тормозящих механизмов, которое развивается импульсации.

Итак, изучение кортико-таламической функции, что нисходящие влияния на лейных нейронах и интересующих. Эффект такой модуляции таламической импульсации передачи возбуждения в

CHARACTERISTICS OF THE FIRST SOMATOSENSORY OF THALAMIC VENTRAL

Responses of 173 ventral of the first somatosensory cortex at 150-400 cps frequencies were studied in cats immobilized with myorelaxants. First zone of the motor cortex of those cats responses of 86 neurons to the first somatosensory cortical stimulation were recorded. 83.5 % of neurons. In 60.0 % of application of cortical stimuli a reduction of corticofugal fibres caused by reduced to 8.1 %. It is shown that activation of ventral posterolateral nucleus by activation of intranuclear inhibitory

Department of Cerebral Cortex Ph. A. A. Bogomoletz Institute of Physics of Sciences, Ukrainian S

1. Волошин М. Я. Нейронная и вентральная переднего ядра. 1981.—43 с.
2. Волошин М. Я., Прокопенко В. Ф. и вентрального переднего ядра. — Нейрофизиология. 1981.—43 с.
3. Дуриня Р. А. Функциональные характеристики сигналов в таламусе. — Нейрофизиология. 1981.—43 с.
4. Серков Ф. Н. Электрофизиология. Наук. думка, 1977.—216 с.
5. Серков Ф. Н., Казаков В. А. Нейрофизиология. 1980.—260 с.
6. Шевелев И. А. Динамика торможения. 1981.—191 с.
7. Andersen P., Eccles J. C. Some types of cells, their responses to sensory stimulation. — J. Physiol. 1974, N 3, p. 370—399.
8. Andersen P., Junge K., Sveistrup H. — Brain Behav. Evol. 1972,

чечных разрядов (рис. 3) появляются проекционной области коры развиваются два процесса — торможения. Нисходящие влияния к первым клеткам *VPL* по темпу, терминалы которых, как оканчиваются на нейронах ядисинапсами. Аксон-дendритные мем на проксимальных участках *L*. Следует полагать, что суммарной стимуляции неокортикализацию нейрона, на фоне которой является причиной ранее допороговое тестирование (рис. 2, 5).

Что пачечные разряды, которые при продолжительной стимуляции неокортикальной зоны возникают в результате толчками эпифеномен — явление, не. Однако аналогичное явление здражения — путем создания ости [10, 15, 18].

Ламических путей, развивающихся к выключению возбуждения, проявляется резким уменьшением раздражение волокон белого вещества через 7—10 с. Результате активации этих клеток коллатералей аксонов эпифеномен — явление, не. Необходимо, однако, подчиняется интактного коркового ПСП, вызванных раздражениями. Аналогичные явления, наблюдавшиеся в коре мозга незначительно, получены и в соответствующих проекциях других сенсорных модальностей тормозных реакций, возникающих в зоне *SI*, развивается в зонах интернейронов ядра. Постганглионарных афферентов коллатералей белого вещества нейронов, которое наблюдалось у интактных, но все же остается доста-

тественное количество нейронов. Необходимо, однако, подчиняется интактного коркового ПСП, вызванных раздражениями. Аналогичные явления, наблюдавшиеся в коре мозга незначительно, получены и в соответствующих проекциях других сенсорных модальностей тормозных реакций, возникающих в зонах интернейронов ядра. Постганглионарных афферентов коллатералей белого вещества нейронов, которое наблюдалось у интактных, но все же остается доста-

Характеристика нисходящих влияний

са и небольшие размеры сом тормозящих интернейронов, торможение можно считать результатом быстрой деполяризации тормозящего нейрона до уровня, при котором механизм генерации потенциалов действия блокируется. Наличие на аксонах нейронов *VPL* синапсов, образованных терминалами кортико-таламических волокон [12], свидетельствует о возможности блокады выделения тормозящего медиатора терминалами тормозящих нейронов по механизму пресинаптического торможения, которое развивается при определенной частоте кортикофагальной импульсации.

Итак, изучение кортико-таламического звена соматосенсорной таламо-кортикальной функциональной системы [4, 5] свидетельствует, что нисходящие влияния со стороны *SI* модулируют возбудимость релейных нейронов и интернейронов *VPL* (возбуждающих и тормозящих). Эффект такой модуляции обусловлен интенсивностью кортико-таламической импульсации и выражается облегчением или угнетением передачи возбуждения в таламо-кортикальных нейронных цепях.

M. Ya. Voloshin, V. F. Prokopenko

CHARACTERISTICS OF THE DESCENDING INFLUENCES
OF THE FIRST SOMATOSENSORY CORTICAL ZONE ON NEURONS
OF THALAMIC VENTRAL POSTEROLATERAL NUCLEUS IN CAT

Summary

Responses of 173 ventral posterolateral thalamic neurons to electrical stimulation of the first somatosensory cortex of 0.5–0.7, 5–15 cps frequencies or to 4–6 impulses of 150–400 cps frequencies were studied in cats anesthetized with thiopental sodium and immobilized with myorelaxants. In eight animals all zones of somatosensory and the first zone of the motor cortex were ablated 7–10 days before the acute experiment. In those cats responses of 86 neurons to stimulation of white matter fibres projecting to the first somatosensory cortical zone were studied. Antidromic spikes as responses to cortical stimulation were recorded in 63.0 % of neurons and orthodromic ones in 83.5 % of neurons. In 60.0 % of neurons studied spike discharges were registered after application of cortical stimuli at 5–15 cps frequencies. After anterograde degeneration of corticofugal fibres caused by cortical ablation the quantity of orthodromic reactions reduced to 8.1 %. It is shown that the majority of inhibitory responses evoked in the ventral posterolateral nucleus by stimulation of the first somatosensory zone result from activation of intranuclear inhibitory interneurons.

Department of Cerebral Cortex Physiology,
A. A. Bogomoletz Institute of Physiology,
Academy of Sciences, Ukrainian SSR, Kiev

Список литературы

1. Волошин М. Я. Нейронная организация и функциональные связи ретикулярного и вентрального переднего ядер таламуса: Автореф. дис... д-ра. мед. наук.—Кiev, 1981.—43 с.
2. Волошин М. Я., Прокопенко В. Ф. Электрические реакции нейронов ретикулярного и вентрального переднего ядер зрительного бугра кошки на раздражение орбитофронтальной коры.—Нейрофизиология, 1974, 6, № 5, с. 472—480.
3. Дуринян Р. А. Функциональная организация таламического реле и передача афферентных сигналов в таламо-кортикальной системе.—В кн.: Механизмы объединения нейронов в первом центре. Л.: Наука, 1975, с. 129—134.
4. Серков Ф. И. Электрофизиология высших отделов слуховой системы.—Кiev: Наук. думка, 1977.—216 с.
5. Серков Ф. И., Казаков В. Н. Нейрофизиология таламуса.—Кiev: Наук. думка, 1980.—260 с.
6. Шевелев И. А. Динамика зрительного сенсорного сигнала.—М.: Наука, 1971.—191 с.
7. Andersen P., Eccles J. C., Sears T. A. The ventro-basal complex of the thalamus: types of cells, their responses and their functional organization.—J. Physiol., 1964, 174, N 3, p. 370—399.
8. Andersen P., Junge K., Sveen O. Cortico-fugal facilitation of thalamic transmission.—Brain Behav. Evol., 1972, 6, N 2, p. 170—184.

9. Dubin M. W., Cleland B. G. Organization of visual inputs to interneurons of lateral geniculate nucleus of the cat.—J. Neurophysiol., 1977, **40**, N 2, p. 410—427.
 10. Gutnick M. J., Prince D. A. Thalamo-cortical relay neurons: antidromic invasion of spikes from a cortical epileptogenic focus.—Science, 1972, **176**, N 4033, p. 424—426.
 11. Hull E. Corticofugal influence in the macaque lateral geniculate nucleus.—Vision Res., 1968, **8**, N 5, p. 1285—1298.
 12. Jones E. G., Powell T. P. S. An electron microscopic study of mode of termination of cortico-thalamic fibres within the sensory relay nuclei of the thalamus.—Proc. Roy. Soc. (B) 1969, **172**, N 2, p. 173—185.
 13. Noebels J. L., Prince D. A. Excitability changes in thalamo-cortical relay neurons during synchronous discharges in cat neocortex.—J. Neurophysiol., 1978, **41**, N 5, p. 1282—1296.
 14. Orman S. S., Humphrey G. L. Effects of changes in cortical arousal and auditory cortex cooling on neuronal activity in the medial geniculate body.—Exp. Brain Res., 1981, **42**, N 3/4, p. 475—482.
 15. Prince D. A. Neurophysiology of epilepsy.—Ann. Rev. Neurosci., 1978, **1**, p. 395—415.
 16. Purpura D. P., Desiraju T., Prelevic S., Santini M. Excitability changes in dendrites of thalamic neurons during prolonged synaptic activation.—Brain Res., 1968, **10**, N 3, p. 457—459.
 17. Reinoso-Suarez F. Topographischer Hirnatlas der Katze für Experimental-Physiologische Untersuchungen. Darmstadt, 1961.—75 S.
 18. Schwartzkroin P. A., Mutani R., Prince D. A. Orthodromic and antidromic effects of cortical epileptiform focus on ventrolateral nucleus of the cat.—J. Neurophysiol., 1975, **38**, N 4, p. 795—811.
 19. Sefton A. J., Burke W. Mechanism of recurrent inhibition of the lateral geniculate nucleus of the rat.—Nature, 1966, **211**, N 5055, p. 1276—1278.
 20. Shimazu H., Yanagisawa H., Garoutte B. Cortico-pyramidal influences on thalamic somatosensory transmission in the cat.—Jap. J. Physiol., 1965, **15**, N 2, p. 101—124.
 21. Singer W. Control of thalamic transmission by corticofugal and ascending reticular pathways in the visual system.—Physiol. Rev., 1977, **57**, N 3, p. 386—420.
 22. Tsumoto T., Creutzfeldt O. D., Legedny C. R. Functional organization of the corticofugal system from visual cortex to lateral geniculate nucleus in the cat (with an appendix on geniculo-cortical mono-synaptic connections).—Exp. Brain Res., 1978, **32**, N 3, p. 345—364.
 23. Uno M., Yoshida M., Hirota I. The mode of cerebello-thalamic transmission investigated with intracellular recording from cells of the ventrolateral nucleus of cat's thalamus.—Ibid., 1970, **10**, N 1, p. 121—139.

Отд. физиологии коры голов. мозга

Ин-та физиологии им. А. А. Богомольца АН УССР, Киев

Поступила 08.06.83

ФИЗИОЛОГИЧЕСКИЙ ЖУРНАЛ

УДК 612.825.263:612.822.3

И. И. Коренюк,

ВЗАИМООТНОШЕНИЯ И ТОРМОЖЕНИЯ В НЕЙРОНЫ КОШКИ ПРИ

Изучение взаимоотношений в нейронах коры имеет важнейший интегративной деятельности коры изучали как методом ности [5, 8, 13, 14, 17, 18], новых постсинаптических потенциалов, различающихся качественном соотношении и торможением при данной области неоднозначных в условиях проводимых экспериментов пульсной активности (ФИ) ответных реакций, что затрудняет начального торможения гистранина постсинаптическую картину взаимоотношений при этом непреднамерено более крупных нейронах. Указанные выше причины отношения процессов возбуждения к корковому залпу

Возбудимость нейрона стимуляции. Однако изменение раздражение отражает не нейрона коры, сколько все дающих к нему афферентного белого вещества (звенья, модифицирующие рующей периферической с боты заключалась в выяснении начального возбуждения и при использовании в качестве центрального раздражения полученных этими методами.

Опыты проведены на кошке внутрибрюшинно), а затем об

Электрокожжное раздражение передней лапы, толчком тока служил щелчок, поступающий торый подавали прямоугольные импульсы 10—20 В. В качестве стимула ИФК-120 (интенсивность 0,27 во всех случаях составляла 0,1 исследуемому полушарию. От полученных гистограмм.

Наряду с одиночными размножениями в этом случае интервалы между изменениями изменяли в пределах 300